

## ОБОБЩЕНИЕ МЕТОДОВ МАТЕМАТИЧЕСКОЙ КАРТОГРАФИИ ДЛЯ ПРОЕЦИРОВАНИЯ МНОГОМЕРНОЙ СФЕРЫ

Предметом теории картографических проекций являются математические способы изображения эллипсоида вращения или сферы на плоскости. Решаемая практическая задача — это изображение земной поверхности в плоскости географической карты, а эллипсоид, или в частном случае сфера, принимаются в качестве математически определенной фигуры, моделирующей земную поверхность. В чисто геометрическом отношении задача для случая сферы состоит в изображении двухмерной поверхности постоянной кривизны, существующей в трехмерном евклидовом («плоском») пространстве, на плоской двухмерной поверхности.

В данной статье приводится опыт моделирования трехмерной сферы в четырехмерном пространстве и изображения ее методами математической картографии на трехмерной «плоскости», т. е. в трехмерном евклидовом пространстве. Далее данный опыт обобщается для сферы  $n$  измерений.

На наш взгляд, такой опыт не является отвлеченным математическим упражнением. Как известно, в космологии и теории относительности рассматривается гипотеза кривизны пространства наблюдаемой Вселенной ([<sup>4</sup>], с. 252; [<sup>5</sup>]). В книге В. Паули «Теория относительности» [<sup>4</sup>] приводятся формулы расчета линейного элемента  $ds$  на сфере  $n$  измерений, являющейся «гиперповерхностью» в евклидовом пространстве  $n + 1$  измерений (<sup>[4]</sup>, с. 79):

$$ds^2 = \sum_i (dx_i)^2 + (dx_{n+1})^2, \quad (1)$$

$$\sum_i (x_i)^2 + (x_{n+1})^2 = a^2, \quad (2)$$

$$r^2 = \sum_i (x_i)^2, \quad (3)$$

где  $ds$  — линейный элемент, принадлежащий сфере  $n$  измерений,  $dx_i$  — соответствующие ему приращения прямоугольных координат  $x_i$  евклидова пространства  $n + 1$  измерений,  $a$  — радиус кривизны сферы  $n$  измерений,  $r$  — его проекция на экваториальную плоскость сферы ( $x_{n+1} = 0$ ), индекс  $i$  принимает значения от 1 до  $n$ .<sup>1</sup>

Для расчета  $ds$  применяется и прием изображения сферического пространства на «плоском». Для этого приводится другая форма выражения линейного элемента  $ds$ , которая получается с помощью так называемых «кримановых нормальных координат»  $y_i$ . Эту координатную систему получают путем проведения из какой-либо произвольной точки  $P_0$  пространства всех геодезических линий. Тогда положению любой точки  $P$  пространства будет соответствовать только одна геодезическая линия  $P_0P$  (<sup>[4]</sup>, с. 72). Взаимосвязь координат  $x_i$  и  $y_i$  определена выражениями (<sup>[4]</sup>, с. 80):

$$\rho^2 \sum_i (y_i)^2, \quad (4)$$

$$x_i = \frac{r}{\rho} y_i, \quad (5)$$

---

<sup>1</sup> В книге В. Паули [<sup>1</sup>] символ последовательности  $i$  указан в формулах в виде верхнего индекса. Здесь и далее применяется общепринятое написание — нижний индекс.

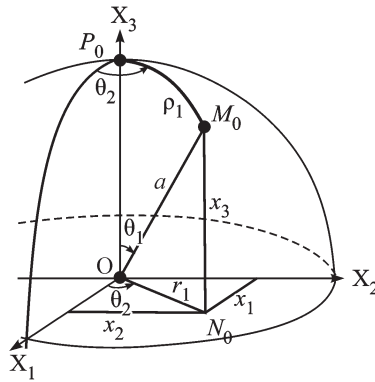


Рис. 1. Двухмерная сфера в евклидовом пространстве 3 измерений. Точка  $M_0$  сферы и ее сферические координаты.

$$\frac{r}{\rho} = \frac{a}{\rho} \sin \frac{\rho}{a}, \quad (6)$$

$$x_{n+1} = a \cos \frac{\rho}{a}, \quad (7)$$

$$ds^2 = \frac{a^2}{\rho^2} \sin^2 \frac{\rho}{a} \sum (dy_i)^2 + \frac{1}{\rho^2} \left( 1 - \frac{a^2}{\rho^2} \sin^2 \frac{\rho}{a} \right) \left( \sum_i y_i dy_i \right)^2. \quad (8)$$

Согласно формуле (4),  $\rho$  — это длина геодезической линии  $P_0P$ .

По формуле (8)<sup>1</sup> вычисляется линейный элемент  $ds(y)$ , который должен быть равен элементу  $ds(x)$ , заданному приращениями координат  $x$  в формуле (1), однако в формуле (8) отсутствует индекс  $n+1$ , т. е. вычисления выполняются в пространстве с числом измерений, на 1 меньшим, чем по формуле (1).

**Сравнение формул (4)–(8) римановых нормальных координат  $y_i$  и картографической проекции двухмерной сферы на плоскость.** Геометрический смысл приведенных формул наглядно иллюстрируется, если принять размерность сферической «гиперповерхности»  $n = 2$ , т. е. рассмотреть пример для поверхности шара в трехмерном ( $n+1 = 3$ ) евклидовом пространстве (рис. 1). Тогда формула (2) принимает вид  $x_1^2 + x_2^2 + x_3^2 = a^2$ , т. е. является уравнением обычной сферы.

Точку сферы, в которой расположен бесконечно малый линейный элемент  $ds$ , обозначим  $M_0$ . Из формулы (3) и рис. 1 получим  $r_1^2 = x_1^2 + x_2^2$ , где  $r_1$  — радиус-вектор проекции  $N_0$  точки  $M_0$  на экваториальную плоскость сферы. Геодезическими линиями, образующими систему «римановых нормальных координат»  $y_i$ , будут в данном случае дуги больших кругов сферы, исходящие из точки  $P_0$ . На рис. 1  $\rho_1$  — это длина дуги  $P_0M_0$  сферы. Данной дуге соответствует угол (полярное расстояние)

$$\theta_1 = \frac{\rho_1}{a}, \quad (9)$$

являющийся одной из двух сферических координат, задающих положение точки в двухмерном сферическом пространстве. Вторую сферическую координату обозначим  $\theta_2$  и построим изображение параллели сферы с точкой  $M_0$  в плоскости нормальной азимутальной проекции.

<sup>1</sup> В книге Б. Паули ([4], с. 80) в формуле (128) выражение  $y^i dy^i$  в правой части приведено без знака суммирования, что в общепринятом понимании лишает его конкретного значения. Замечание о том, что знак суммирования в подобных выражениях может быть опущен (но подразумевается) приведено в § 8 книги на стр. 43.

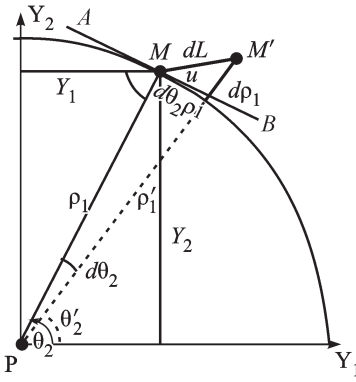


Рис. 2. Изображения  $M$  точки  $M_0$  и  $dL = MM'$  элемента сферы  $ds$  в плоскости азимутальной равнопромежуточной проекций.

мутальной равнопромежуточной проекции (Постеля) в системе декартовых координат  $PY_1Y_2$  (рис. 2). Масштаб  $\mu_0$  в центральной точке  $P$  проекции принимаем равным 1, вследствие чего частный масштаб в точках проекции равен увеличению длины  $c$ . Точкой  $M$  изображается точка  $M_0$ , отрезком  $MM' = dL$  — конечный малый отрезок  $M_0M'_0$  на сфере, моделирующий линейный элемент  $ds$ .

Из рис. 1 и 2 получим:  $\rho_1 = \sqrt{Y_1^2 + Y_2^2}$ ,  $\frac{Y_i}{\rho_1} = \frac{x_i}{r_1}$  и, следовательно,  $x_i = \frac{r_1}{\rho_1} Y_i$ .

Согласно выражениям (4), (5),

$$\rho = \sqrt{y_1^2 + y_2^2}, x_i = \frac{r}{\rho} y_i.$$

Таким образом, выражения системы координат  $y_i$ , примененной в книге Паули [4] для исследования свойств многомерных пространств, идентичны выражениям координат  $Y_i$  нормальной азимутальной равнопромежуточной проекции. Исходя из этого можно предположить, что  $y_1 = Y_1$ ,  $y_2 = Y_2$ ,  $dy_1 = dY_1$ ,  $dy_2 = dY_2$  и координаты  $y_i$  можно считать прямоугольными координатами нормальной проекции Постеля, по крайней мере для  $n = 2$ .

Если это заключение справедливо, то отрезок  $dL = \sqrt{dY_1^2 + dY_2^2}$  (рис. 2) является изображением линейного элемента  $ds$  в плоскости построенной проекции и, следовательно,

$$ds = \frac{dL}{c} \quad (10)$$

и должны выполняться соотношения

$$ds(x) = ds(y) = ds(Y) = \frac{dL}{c}, \quad (11)$$

где  $ds(x)$ ,  $ds(y)$  и  $ds(Y)$  — линейный элемент  $ds$ , вычисленный по формулам (1), (8) и (10) соответственно,  $c$  — масштаб в азимутальной равнопромежуточной проекции по произвольному направлению.

Выполнение соотношений (11) может быть проверено путем моделирования линейного элемента  $ds$  на сфере 2 (и более) измерений и решения численных примеров по формулам (1), (8) и (10).

Модель линейного элемента  $ds$  должна отвечать условиям:

— линейная протяженность отрезка  $M_0M'_0$ , моделирующего  $ds$ , должна быть достаточно мала относительно радиуса сферы  $a$ , так чтобы в расчетах адекватно заменять теоретический бесконечно малый линейный элемент;

— отрезок  $M_0M'_0$ , моделирующий  $ds$  в пространстве  $n + 1$  измерений, должен принадлежать сфере  $n$  измерений.

Для соблюдения данных условий отрезок  $M_0M'_0$  задается в примерах близкими по значениям сферическими координатами точек  $M_0(\theta_1\theta_2)$  и  $M'_0(\theta'_1\theta'_2)$ . Сферическим координатам соответствуют прямоугольные  $x_i$  (рис. 1),  $x'_i$  и их приращения  $dx_i = x'_i - x_i$ . По этим данным и формуле (1) вычисляется контрольная величина линейного элемента  $ds(x)$ .

Выведем формулы для вычисления величин, входящих в соотношение (11).

Для подстановки в формулу (8) требуются величины  $y_i$ ,  $dy_i$ . Из формулы (5) с учетом обозначений, принятых на рис. 1 и 2, следует:

$$x_i + dx_i = \frac{r_1 + dr_1}{\rho_1 + d\rho_1} (y_i + dy_i), \quad (12)$$

$$y_i = \frac{\rho_1}{r_1} x_i. \quad (13)$$

Обозначая  $r_1 + dr_1 = r'_1$ ,  $\rho_1 + d\rho_1 = \rho'_1$  из выражений (12), (13), получим

$$dy_i = \frac{r'_1}{\rho'_1} dx_i + x_i \left( \frac{\rho'_1}{r'_1} - \frac{\rho_1}{r_1} \right). \quad (14)$$

Заметим, что полученные формулы (13) и (14), как и исходная формула (5), верны для любых значений  $n$ .

Формулы расчета величины  $c$  для подстановки в выражение (10) выведем из известной в теории искажений формулы ([2], с. 115):

$$\frac{1}{c^2} = \frac{1}{a_e^2} \cos^2 u + \frac{1}{b_e^2} \sin^2 u, \quad (15)$$

где  $a_e$ ,  $b_e$  — большая и малая полуоси эллипса искажений,  $u$  — угол между большой полуосью и направлением в плоскости проекции, по которому рассчитывается увеличение.

Для нормальной проекции Постеля  $a_e = c_p$ , а  $b_e = 1$ , где  $c_p$  — масштаб по параллели, определяемый формулой

$$c_p = \frac{\theta_1}{\sin \theta_1}. \quad (16)$$

Согласно формуле (15), получим

$$c = \sqrt{\frac{1}{\frac{1}{c_p^2} \cos^2 u + \sin^2 u}}. \quad (17)$$

Из рис. 1 с учетом формулы (16) следуют соотношения

$$\frac{r_1}{\rho_1} = \frac{a \sin \theta_1}{a \theta_1} = \frac{\sin \theta_1}{\theta_1} = \frac{a}{\rho_1} \sin \frac{\rho_1}{a} = \frac{1}{c_p}, \quad (18)$$

и в результате получим

$$c = \sqrt{\frac{1}{\left(\frac{a^2}{\rho_1^2} \sin^2 \frac{\rho_1}{a}\right) \cos^2 u + \sin^2 u}}. \quad (19)$$

На рис. 2 большая полуось эллипса искажений  $AB$ , согласно свойствам проекции, касательна к параллели в точке  $M$  и нормальна к радиусу изображения параллели. Учитывая малость  $ds$  (и соответственно  $dL$ ) из рисунка, получим для подстановки в (19):

$$u = \arctg \frac{d\rho_1}{d\theta_2 \cdot \rho_1}. \quad (20)$$

Если элемент  $ds$  расположен по параллели, то  $c = c_p$ .

**Решение примеров для проверки выполнения соотношений (11) при  $n = 2$ .** Моделируется бесконечно малый линейный элемент  $ds$  на сфере 2 измерений, построенной в евклидовом («плоском») пространстве 3 измерений. Вычисляется длина  $ds$  по координатам  $x_i$  пространства 3 измерений, по изображению  $dL$  элемента  $ds$  в равнопромежуточной азимутальной проекции и по римановым нормальным координатам  $y_i$ .

Исходные данные. Радиус сферы  $a = 1$ . На сфере положение точки задается полярным расстоянием  $\theta_1$  от условного «полюса»  $P_0$  и углом  $\theta_2$  от начального направления (рис. 1). Сферические координаты точек  $M_0(\theta_1, \theta_2)$  и  $M'_0(\theta'_1, \theta'_2)$ , определяющих положение линейного элемента  $ds = M_0M'_0$ , приведены в табл. 1. В примере 2 принято  $\theta'_1 = \theta_1$  и элемент  $ds$  должен совпадать с параллелью.

Последовательность вычислений и рабочие формулы. 1. Вычисление декартовых прямоугольных координат концов элемента  $ds$ .

Из рис. 1, полагая, что на поверхности сферы вблизи точки  $M_0$  лежит точка  $M'_0$  и  $M_0M'_0 = ds$ , получим:

$$\begin{aligned} r_1 &= a \cdot \sin \theta_1, \quad x_1 = r_1 \cdot \cos \theta_2, \quad x_2 = r_1 \cdot \sin \theta_2, \quad x_3 = a \cdot \cos \theta_1; \\ r'_1 &= a \sin \theta'_1, \quad x'_1 = r'_1 \cdot \cos \theta'_2, \quad x'_2 = r'_1 \cdot \sin \theta'_2, \quad x'_3 = a \cos \theta'_1. \end{aligned}$$

2. Контрольные вычисления, показывающие, что линейный элемент  $ds \equiv M_0M'_0$  находится в пределах сферы, заданной радиусом  $a$  (в данном примере — на поверхности двухмерной сферы).

$$S_x = \sum_{i=1}^3 x_i^2, \quad S'_x = \sum_{i=1}^3 (x'_i)^2.$$

Должны выполняться равенства  $S'_x = S_x = a^2$ .

Таблица 1

Сферические координаты точек  $M_0M'_0$

Сферические координаты	Значения сферических координат в примерах 1—5				
	1	2	3	4	5
$\theta_1$	$48^\circ$	$48^\circ$	$91^\circ$	$155^\circ$	$80^\circ$
$\theta'_1$	$48.003^\circ$	$48^\circ$	$91.003^\circ$	$155.004^\circ$	$80.003^\circ$
$\theta_2$	$30^\circ$	$30^\circ$	$130^\circ$	$-80^\circ$	$-170^\circ$
$\theta'_2$	$30.002^\circ$	$30.002^\circ$	$130.002^\circ$	$-80.002^\circ$	$-170.002^\circ$

Таблица 2  
Результаты вычислений в примерах 1—5

Вычисляемая величина	Значения вычисляемых величин, полученные в примерах 1—5				
	1	2	3	4	5
$ds(x) \cdot 10^8$	5843	2594	6293	7135	6264
$ds(Y) \cdot 10^8$	5843	2594	6293	7135	6264
$ds(y) \cdot 10^8$	5843	2594	6293	7136	6264
$dL(Y) \cdot 10^8$	5997	2924	7626	11744	7153
$dL(y) \cdot 10^8$	5997	2924	7626	11744	7153
$u^\circ$	60.8	0	43.4	36.5	47.1
$c$	1.026	1.127	1.212	1.646	1.142
$c_p$	1.127	1.127	1.588	6.401	1.418

3. Вычисление величины линейного элемента  $ds(x)$ .

$$dx_1 = x'_1 - x_1, dx_2 = x'_2 - x_2, dx_3 = x'_3 - x_3, ds(x) = \sqrt{dx_1^2 + dx_2^2 + dx_3^2}.$$

4. Вычисление длины элемента  $dL$ , изображающего элемент сферы  $ds$  в нормальной равнопромежуточной азимутальной проекции Постеля (рис. 2).

$$\rho_1 = a \cdot \theta_1 \cdot \arcl^o, Y_1 = \rho_1 \cdot \cos \theta_2, Y_2 = \rho_1 \cdot \sin \theta_2;$$

$$\rho'_1 = a \cdot \theta'_1 \cdot \arcl^o, Y'_1 = \rho'_1 \cdot \cos \theta'_2, Y'_2 = \rho'_1 \cdot \sin \theta'_2,$$

$$dY_1 = Y'_1 - Y_1, dY_2 = Y'_2 - Y_2, dL(Y) = \sqrt{dY_1^2 + dY_2^2}$$

5. Вычисление масштаба  $c$  по произвольному направлению и масштаба  $c_p$  по параллели в нормальной равнопромежуточной азимутальной проекции.

$d\rho_1 = \rho'_1 - \rho_1, d\theta_2 = \theta'_2 - \theta_2$ ,  $u$  — по формуле (20),  $c$  — по формуле (19),  $c_p$  — по формуле (16).

6. Вычисление величины линейного элемента  $ds(Y)$  по его проекции  $dL(Y)$ .

$$ds(Y) = \frac{dL(Y)}{c}.$$

7. Вычисление величины линейного элемента  $ds(y)$  по формулам Паули и величины  $dL(y)$ .

$y_1, y_2, dy_1, dy_2$  — по формулам (13) и (14);  $ds(y)$  — по формуле (8), принимая  $\rho = \rho_1$ ;  $dL(y) = \sqrt{dy_1^2 + dy_2^2}$ .

Результаты вычислений. В результате расчетов получено для всех примеров  $S_x = S'_x = 1$ . Остальные вычисленные величины приведены в табл. 2.

Анализ полученных данных. 1. Выполнение условия  $S'_x = S_x = a^2$  подтверждает принадлежность линейного элемента  $ds$  поверхности двухмерной сферы с радиусом  $a = 1$ .

2. Практическое совпадение величин  $ds(Y)$  и  $ds(x)$  в данных примерах (с точностью до 8-го десятичного знака) является достаточно тривиальным, так как фактически выполнялись изображение линейного элемента поверхности шара в плоскости картографической проекции по ее известным формулам и вычисление неискаженной длины этого элемента с использованием зависимостей теории искажений.

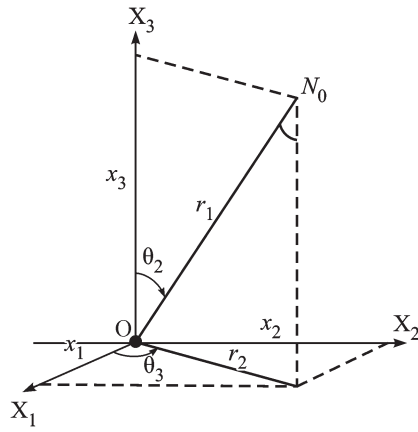


Рис. 3. Трехмерная «экваториальная плоскость» трехмерной сферы.

3. Совпадение величин  $ds(y)$  и  $ds(x)$  подтверждает для  $n = 2$  корректность интерполяции формулы Паули для римановых нормальных координат у выражением (8), так как вычисление  $ds$  по различным «формам линейного элемента» ([4], с. 80) должно давать идентичные результаты по определению.

4. Совпадение величин  $ds(y)$  и  $ds(Y)$ , а также величин  $dL(y)$  и  $dL(Y)$  подтверждает предположение, что соотношения, описываемые формулами (1)–(8), относящимися к математическому аппарату теории многомерных пространств ([4], с. 79, 80), по крайней мере для трехмерного пространства ( $n = 2, n + 1 = 3$ ) адекватно выражаются зависимостями из математической картографии.

5. В примере 2 в соответствии с исходными данными получили  $c = c_p$ .

**Моделирование трехмерной сферы и ее проекции на трехмерное евклидово пространство.** Увеличим размерность пространства  $n$  на 1 и рассмотрим модель сферы  $n$  измерений, радиуса  $a$  в евклидовом пространстве  $n + 1$  измерений для  $n = 3, n + 1 = 4$ . Геометрия этого пространства выражается теми же формулами (1)–(8), в которых  $n$  может принимать любые значения. Составим формулы, описывающие эту модель через связь сферических и прямоугольных декартовых координат.

Если на двухмерной сфере положение точки задается двумя угловыми величинами  $\theta_1$  и  $\theta_2$  (см. выше), то логично принять, что на трехмерной сфере потребуются три величины. Обозначим их:

- угол (дуга)  $\theta_1$  — полярное расстояние от условного «полюса»;
- углы  $\theta_2$  и  $\theta_3$  от условных начальных направлений.

Угловой величине  $\theta_1$  при заданном радиусе сферы  $a$  должна соответствовать линейная величина  $\rho_1$ :

$$\rho_1 = a\theta_1. \quad (21)$$

Геометрический смысл данных величин проявляется, если прибегнуть к расширению понятия «карографическая проекция» от плоского изображения (в двухмерном евклидовом пространстве) на пространственное изображение (в трехмерном евклидовом пространстве). Графическими иллюстрациями такого изображения служат рис. 3 и 4, являющиеся аналогами рис. 1 и 2, построенных для двухмерной сферы. Поскольку для трехмерной сферы, являющейся фигурой четырехмерного пространства, невозможно построить рисунок, полностью аналогичный рис. 1, на рис. 3 изображена «трехмерная экваториальная плоскость» трехмерной сферы. К декартовым координатам  $x_1$  и  $x_2$  экваториальной плоскости на рис. 1 добавлена координата  $x_3$ , к сферической координате  $\theta_2$  — сферическая координата  $\theta_3$ .

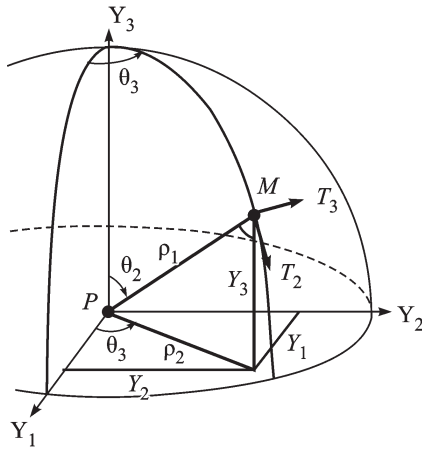


Рис. 4. «Азимутальная равнопромежуточная проекция» трехмерной сферы в трехмерное евклидово («плоское») пространство.

Рис. 4 показывает «азимутальную равнопромежуточную проекцию» трехмерной сферы, существующей в четырехмерном пространстве, на трехмерное евклидово («плоское») пространство  $PY_1Y_2Y_3$ . По аналогии с двухмерной проекцией (рис. 2) прямоугольные координаты проекции обозначаем здесь  $Y_1, Y_2, Y_3$ . Точка  $M$  на рис. 4 является изображением точки  $M_0$  трехмерной сферы — точки, в которой исследуется линейный элемент  $ds$ ,  $\rho_1$  — геодезическая линия, определяющая положение точки  $M_0$  на трехмерной сфере. Радиус-вектор проекции точки  $M$  на экваториальную плоскость обозначим  $\rho_2$ .

Итак, получена достаточно убедительная, на наш взгляд, аналогия:

— точка с координатами  $\theta_1$  и  $\theta_2$  **двухмерной** сферы радиуса  $a$ , построенной в трехмерном евклидовом пространстве (рис. 1), изображается на двухмерном евклидовом пространстве плоскими полярными координатами  $\rho_1 = a\theta_1$  и  $\theta_2$  (рис. 2);

— точка с координатами  $\theta_1, \theta_2, \theta_3$  **трехмерной** сферы радиуса  $a$ , построенной в четырехмерном евклидовом пространстве (на рисунке непредставимо), изображается «на трехмерном евклидовом пространстве» пространственными полярными координатами  $\rho_1 = a\theta_1, \theta_2, \theta_3$  (рис. 4).

Далее, для трехмерной сферы в четырехмерном пространстве по формулам (2) и (3) и из рис. 3 получим соответственно:

$$x_1^2 + x_2^2 + x_3^2 + x_4^2 = a^2, \quad (22)$$

$$r_1^2 = x_1^2 + x_2^2 + x_3^2. \quad (23)$$

По формулам (6), (7) и (21), принимая  $\rho = \rho_1$ ,  $r = r_1$  получим:

$$r_1 = a \cdot \sin \theta_1, \quad (24)$$

$$x_4 = a \cdot \cos \theta_1 \quad (25)$$

Из рис. 3 получим также

$$r_2 = r_1 \cdot \sin \theta_2, \quad x_1 = r_2 \cdot \cos \theta_3, \quad x_2 = r_2 \cdot \sin \theta_3, \quad x_3 = r_1 \cdot \cos \theta_2. \quad (26)$$

Выведем также формулы искажения длины  $s$  линейного элемента  $ds$ , аналогичные формулам (19), (20), но свойственные получаемой «пространственной проекции». Из

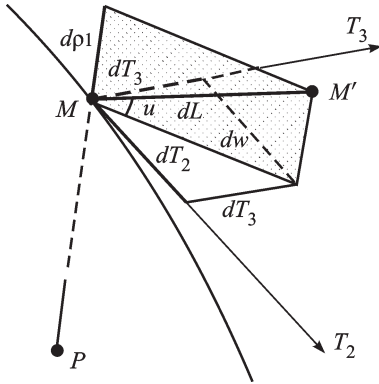


Рис. 5. Элементы эллипсоида искажений.

сравнения рис. 2 («плоская проекция») и рис. 4 («пространственная проекция») видно, что роль параллели плоской проекции, проходящей через заданную точку  $M(\rho_1, \theta_2)$ , в пространственной проекции играет сфера, проходящая через точку  $M(\rho_1, \theta_2, \theta_3)$ . Весьма наглядными и убедительными для такой сферы представляются следующие допущения.

1. Масштаб длин для отрезков, совпадающих с поверхностью этой «сферы-параллели», постоянен, равен  $c_p$  и определяется формулой (16)  $c_p = \frac{\theta_1}{\sin \theta_1}$ .

2. Отрезок  $dL$ , являющийся изображением линейного элемента  $ds$ , исходящий из точки  $M(\rho_1, \theta_2, \theta_3)$ , может находиться на поверхности сферы либо занимать положение по любому направлению в пространстве под углом  $u$  к плоскости, касательной к поверхности сферы в точке  $M$ .

3. Роль эллипса искажений длин в точке  $M$  в данном случае играет «эллипсоид искажений» — эллипсоид вращения с полуосами  $a_e = c_p$ ,  $b_e = 1$  (ось вращения). Экваториальная окружность этого эллипсоида с радиусом  $a_e$  находится в плоскости  $T_2MT_3$  (рис. 4), касающейся сферы-параллели и нормальной к ее радиусу  $\rho_1$  в точке  $M$ .

4. Угол  $u$  (рис. 5) между экваториальной плоскостью эллипсоида искажений и линейным элементом  $dL$  определяет увеличение длин  $c$  по тому же закону, как и угол  $u$  относительно большой полуоси эллипса искажений для «двухмерной» проекции. Поэтому для вычисления масштаба  $c$  по произвольному направлению  $u$  в пространстве применима формула (19). Такое допущение особенно убедительно, если мысленно провести плоскость через малую полуось эллипсоида и линейный элемент  $dL$ . В сечении получим эллипс с полуосами  $a_e$ ,  $b_e$ .

На рис. 5 показано взаимное положение экваториальной плоскости  $T_2MT_3$  эллипсоида искажений, отрезка  $MM' = dL$  и вспомогательных отрезков  $d\rho_1$ ,  $dT_2$ ,  $dT_3$ ,  $dw$ , определяемых приращениями координат  $\rho_1, \theta_2, \theta_3$  от  $M$  к  $M'$ . Положение осей  $MT_2$  и  $MT_3$ , лежащих в экваториальной плоскости  $T_2MT_3$  эллипсоида искажений, показано также на рис. 4. Согласно рис. 4 и 5, учитывая малость  $dL$  и то, что плоскость  $T_2MT_3$  нормальна к  $PM$ , получим:

$$dT_2 = \rho_1 \cdot d\theta_2; \quad dT_3 = \rho_1 \cdot d\theta_3 \cdot \cos \theta_2; \quad dw = \sqrt{dT_2^2 + dT_3^2}; \quad \operatorname{tgu} = \frac{d\rho_1}{dw};$$

$$u = \operatorname{arctg} \frac{d\rho_1}{\sqrt{(d\theta_2 \cdot \rho_1)^2 + (d\theta_3 \cdot \rho_1 \cdot \sin \theta_2)^2}}. \quad (27)$$

Таблица 3  
Сферические координаты точек  $M_0 M'_0$

Исходные сферические координаты	Значения $n$ и значения координат в примерах 6—9			
	6 $n = 3$	7 $n = 3$	8 $n = 4$	9 $n = 10$
$\theta_1$	120°	48°	155°	40°
$d\theta_1$	0.003°	0°	0.004°	0.003°
$\alpha_i$	179°	30°	-80°	130°
$d\alpha_i$	0.002°	0.002°	-0.002°	0.003°
$\beta_i$	-139°	10°	25°	80°
$d\beta_i$	-0.004°	0.004°	0.003°	0.004°

Как отмечено выше, искажение длины произвольно расположенного линейного элемента может вычисляться для данной модели по формуле (19):

$$c = \sqrt{\left( \frac{a^2}{\rho_1^2} \sin^2 \frac{\rho_1}{a} \right) \cos^2 u + \sin^2 u}.$$

Формулы вычисления прямоугольных координат  $Y$  «пространственной» проекции сферы 3 измерений на «плоскость» 3 измерений получим из рис. 4 с учетом выражения (21):

$$\begin{aligned} \rho_1 &= a \cdot \theta_1, \quad \rho_2 = \rho_1 \cdot \sin \theta_2, \\ Y_1 &= \rho_2 \cdot \cos \theta_3, \quad Y_2 = \rho_2 \cdot \sin \theta_3, \quad Y_3 = \rho_1 \cdot \cos \theta_2. \end{aligned} \quad (28)$$

Аналогично тому, как было сделано выше (для  $n = 2, n + 1 = 3$ ), проверим для случая  $n = 3, n + 1 = 4$  выполнение соотношений  $ds(x) = ds(y) = ds(Y) = \frac{dL}{c}$ , где  $dl = \sqrt{dY_1^2 + dY_2^2 + dY_3^2}$  является изображением линейного элемента  $ds$  четырехмерного пространства в «плоскости» построенной трехмерной проекции.

**Решение примеров для проверки выполнения соотношений (11) при  $n = 3$ .** Моделируется бесконечно малый линейный элемент  $ds$  на сфере 3 измерений, построенной в евклидовом пространстве 4 измерений. Вычисляются длины  $ds$  по координатам  $x_i$  пространства 4 измерений, по изображению  $dL$  элемента  $ds$  в равнопромежуточной азимутальной проекции и по римановым нормальным координатам  $y_r$ .

**Исходные данные.** Радиус сферы  $a = 1$ . На сфере положение точки задается полярным расстоянием  $\theta_1$  от условного «полюса» и углами  $\theta_2$  и  $\theta_3$ . Сферические координаты точек  $M_0(\theta_1, \theta_2, \theta_3)$  и  $M'_0(\theta'_1, \theta'_2, \theta'_3)$ , определяющих положение линейного элемента  $ds = M_0 M'_0$ , приведены в табл. 3 (примеры 6, 7).

Последовательность вычислений и рабочие формулы. 1. Вычисление декартовых прямоугольных координат концов элемента  $ds$  по формулам (24—26) и рис. 3.

$$r_1 = a \cdot \sin \theta_1, \quad r_2 = r_1 \cdot \sin \theta_2;$$

$$r'_1 = a \cdot \sin \theta'_1, \quad r'_2 = r'_1 \cdot \sin \theta'_2;$$

$$x_1 = r_2 \cdot \cos \theta_3, x_2 = r_2 \cdot \sin \theta_3, x_3 = r_1 \cdot \cos \theta_2, x_4 = a \cdot \cos \theta_1;$$

$$x'_1 = r'_2 \cdot \cos \theta'_3, x'_2 = r'_2 \cdot \sin \theta'_3, x'_3 = r'_2 \cdot \cos \theta'_2, x'_4 = a \cdot \cos \theta'_1.$$

2. Контрольные вычисления, показывающие, что линейный элемент  $ds \cong M_0 M'_0$  находится в пределах пространства сферы, заданной радиусом  $a$  (в данном примере — на «поверхности» трехмерной сферы).

$$S_x = \sum_{i=1}^4 x_i^2, S'_x = \sum_{i=1}^4 (x'_i)^2.$$

Должны выполняться равенства  $S'_x = S_x = a^2$ .

3. Вычисление величины линейного элемента  $ds$  по координатам  $x_i$  пространства 4 измерений в соответствии с формулой (1).

$$dx_1 = x'_1 - x_1, dx_2 = x'_2 - x_2, dx_3 = x'_3 - x_3, dx_4 = x'_4 - x_4;$$

$$ds(x) = \sqrt{dx_1^2 + dx_2^2 + dx_3^2 + dx_4^2}.$$

4. Вычисление длины элемента  $dL$ , изображающего элемент сферы  $ds$  в трехмерной нормальной равнопромежуточной азимутальной проекции (рис. 4).

$$\rho_1 = a \cdot \theta_1 \cdot \text{arcl}^\circ, \rho_2 = \rho_1 \cdot \sin \theta_2;$$

$$\rho'_1 = a \cdot \theta'_1 \cdot \text{arcl}^\circ, \rho'_2 = \rho'_1 \cdot \sin \theta'_2;$$

$$Y_1 = \rho_2 \cdot \cos \theta_3, Y_2 = \rho_2 \cdot \sin \theta_3, Y_3 = \rho_1 \cdot \cos \theta_2;$$

$$Y'_1 = \rho'_2 \cdot \cos \theta'_3, Y'_2 = \rho'_2 \cdot \sin \theta'_3, Y'_3 = \rho'_1 \cdot \cos \theta'_2;$$

$$dY_i = Y'_i - Y_i, dL(Y) = \sqrt{dY_1^2 + dY_2^2 + dY_3^2}.$$

5. Вычисление масштаба  $c$  по произвольному направлению в трехмерной нормальной равнопромежуточной азимутальной проекции.

$$d\rho_1 = \rho'_1 - \rho_1, d\theta_2 = \theta'_2 - \theta_2, d\theta_3 = \theta'_3 - \theta_3, u — по формуле (27), c — по формуле (19).$$

6. Вычисление величины линейного элемента  $ds(Y)$  по его проекции  $dL(Y)$ .

$$ds(Y) = \frac{dL(Y)}{c}.$$

7. Вычисление величины линейного элемента  $ds(y)$  по формулам Паули и величины  $dL(y)$ .

$y_1, y_2, y_3, dy_1, dy_2, dy_3$  — по формулам (13) и (14);  $ds(y)$  — по формуле (8), принимая  $\rho = \rho_1$ ;

$$dL(y) = \sqrt{dy_1^2 + dy_2^2 + dy_3^2}.$$

Результаты вычислений приведены в табл. 4 (примеры 6, 7). Полученные результаты подтверждают справедливость соотношений (11) для  $n = 3$  и позволяют сделать следующее заключение. Если принять гипотезу о том, что реальное пространство Вселенной является пространством с постоянной кривизной, т. е. сферой 3 изме-

Таблица 4  
Результаты вычислений в примерах 6—10

Вычисляемая величина	Значения вычисляемых величин, полученные в примерах 6—9			
	6 $n = 3$	7 $n = 3$	8 $n = 4$	9 $n = 10$
$ds(x) \cdot 10^8$	6047	3669	7486	8757
$ds(Y) \cdot 10^8$	6047	3669	7486	8757
$ds(y) \cdot 10^8$	6047	3669	7486	8757
$dL(Y) \cdot 10^8$	8996	4136	18654	9249
$dL(y) \cdot 10^8$	8996	4136	18654	9249
$u^\circ$	35.6	0	22.0	34.5
$c$	1.488	1.127	2.492	1.056
$c_p$	2.418	1.127	6.401	1.086

рений ([4], с. 252), то для наблюдаемых объектов имеет место искажение величин их поперечников согласно соотношениям:

$$p_{\text{наб}} = p_{\text{ист}} c_p, \quad c_p = \frac{\theta_1}{\sin \theta_1} = \frac{\rho_1}{a} : \sin \frac{\rho_1}{a}, \quad (29)$$

где  $p_{\text{наб}}$  — величина поперечника, полученная из наблюдений,  $p_{\text{ист}}$  — истинная величина поперечника,  $c_p$  — увеличение длин на «сфере-параллели» трехмерного сферического пространства,  $\rho_1$  — расстояние до объекта,  $a$  — радиус кривизны сферической Вселенной. При этом необходимо отметить, что ввиду «исключительно большого» радиуса кривизны мира по сравнению, например, с размерами Солнечной системы ([4], с. 253) указанный эффект может быть существенным только для объектов, отстоящих на расстояния, сравнимые с величиной  $a$ : например, при  $\rho_1 = 0.1 \cdot a$  получим  $c_p - 1 = 0.002$ .

#### Моделирование сферы $n$ измерений и ее проекции на $n$ -мерную «плоскость».

Как показано выше для  $n = 2$  и  $n = 3$ , соотношения, описываемые формулами (1) и (8) ([4], с. 79, 80), относящимися к математическому аппарату теории многомерных пространств, путем введения сферических координат адекватно выражаются зависимостями из математической картографии. Соотношения (1)—(8) по определению позволяют получать линейный элемент  $ds(y)$  при любых целых, сколь угодно больших, значениях  $n$ . Поэтому представляет интерес, на наш взгляд, и аппарат, который позволял бы для любых  $n$  вычислять:

— величины  $x_i$  по сферическим координатам  $\theta_i$  на сфере  $n$  измерений, являющейся «гиперповерхностью» в евклидовом пространстве  $n + 1$  измерений;

— величины  $Y_\nu, dL, u, c$  нормальной равнопромежуточной азимутальной проекции сферы  $n$  измерений на  $n$ -мерную «плоскость»;

— линейный элемент  $ds(Y) = \frac{dL(Y)}{c}$  для случая  $n$ -мерной сферы.

Из анализа формул, полученных для  $n = 2$  и  $n = 3$ , выведены соответствующие зависимости, обобщенные для любых значений  $n$ .

Вычисление прямоугольных пространственных координат  $x_i$ .

$$r_1 = a \cdot \sin \theta_1. \quad (30)$$

При значениях  $i$  от 2 до  $n-1$

$$r_i = r_{i-1} \sin \theta_i. \quad (31)$$

При значениях  $i$  от 1 до  $n$ ,

$$\left. \begin{array}{l} \text{если } i=1, \text{ то } x_i = r_{n-1} \cos \theta_n; \\ \text{если } i=2, \text{ то } x_i = r_{n-1} \sin \theta_n; \\ \text{если } i>2, \text{ то } x_i = r_{n+1-i} \cos \theta_{n+2-i}; \end{array} \right\} \quad (32)$$

$$x_{n+1} = a \cos \theta_1. \quad (33)$$

Вычисление прямоугольных координат  $Y_i$ .

$$\rho_1 = a \cdot \theta_1 \cdot \text{arc}1^\circ. \quad (34)$$

При значениях  $i$  от 2 до  $n$

$$\rho_i = \rho_{i-1} \sin \theta_i. \quad (35)$$

При значениях  $i$  от 1 до  $n$ ,

$$\left. \begin{array}{l} \text{если } i=1, \text{ то } Y_i = \rho_{n-1} \cos \theta_n; \\ \text{если } i=2, \text{ то } Y_i = \rho_{n-1} \sin \theta_n; \\ \text{если } i>2, \text{ то } Y_i = r_{n+1-i} \cos \theta_{n+2-i}. \end{array} \right\} \quad (36)$$

Вычисление угла  $u$ .

$$\left. \begin{array}{l} \text{Если } n=2, \text{ то } u = \arctg \frac{d\rho_1}{\sqrt{(d\theta_2 \cdot \rho_1)^2}}; \\ \text{если } n \geq 3, \text{ то } u = \arctg \frac{d\rho_1}{\sqrt{(d\theta_2 \cdot \rho_1)^2 + \sum_{i=3}^n (d\theta_i \cdot \rho_{i-2} \cdot \sin \theta_{i-1})^2}}. \end{array} \right\} \quad (37)$$

Формулы (30)–(36) позволяют по заданным сферическим координатам  $\theta_i$  точки  $M_0$   $n$ -мерной сферы вычислить координаты  $x_i$  и  $Y_i$ . При вычислениях, относящихся к точке  $M'_0$  принимается  $r'_1 = a \sin \theta'_1$ , и всем переменным, входящим в формулы (31)–(36), придается верхний индекс «штрих».

Легко убедиться, что ранее полученные формулы для  $n=2$  и  $n=3$  являются частным случаем формул (30)–(37).

**Решение примеров для проверки выполнения соотношений (11) при значениях  $n > 2$ .** Моделируется бесконечно малый линейный элемент  $ds$  на сфере  $n$  измерений, построенной в евклидовом пространстве  $n+1$  измерений. Вычисляется длина  $ds$  по координатам  $x_i$  пространства  $n+1$  измерений, по изображению  $dL$  элемента  $ds$  в равно-промежуточной азимутальной проекции и по римановым нормальным координатам  $y_i$ .

Исходные данные. Радиус сферы  $a=1$ . На сфере положение точки задается сферическими координатами  $\theta_i$  для значений  $i$  от 1 до  $n$ . Сферические координаты точек  $M_0(\theta_1, \theta_2, \theta_3, \dots, \theta_n)$  и  $M'_0(\theta'_1, \theta'_2, \theta'_3, \dots, \theta'_n)$ , определяющих положение линейного элемента  $ds = M_0 M'_0$ , задаются данными табл. 3 и приводимыми ниже условиями.

Для  $i=1$ :  $\theta'_1 = \theta_1 + d\theta_1$ . При значениях  $i$  от 2 до  $n$ :  $\theta_i = \alpha_i$ ,  $d\theta_i = d\alpha_i$  для четных значений  $i$ ,  $\theta_i = \beta_i$ ,  $d\theta_i = d\beta_i$  для нечетных значений  $i$ ,  $\theta'_i = \theta_i + d\theta_i$ .

Данные условия позволяют для любого заданного значения  $n$  автоматически генерировать  $n$  значений  $\theta$ . Отдельно задаваемое значение  $\theta_1$  позволяет вводить условие  $\theta'_1 = \theta_1$  для получения примера, где  $c = c_p$ . Повторяемость (через одно) значений  $\theta$  в

примерах не нарушает, на наш взгляд, общности решения задачи. В примере 7 принято  $\theta'_1 = \theta_1$  и элемент  $ds$  совпадает со «сферой-параллелью».

Последовательность вычислений и рабочие формулы. 1. Вычисление  $r_i, r'_i, x_i$  и  $x'_i$  по формулам (30)–(33) для  $i$  от 1 до  $n + 1$ .

2. Контрольные вычисления, показывающие, что линейный элемент  $ds \equiv M_0 M'_0$  находится в пределах пространства сферы  $n$  измерений, заданной радиусом  $a$ .

$$S_x = \sum_{i=1}^{n+1} x_i^2, S'_x = \sum_{i=1}^{n+1} (x'_i)^2.$$

Должны выполняться равенства  $S'_x = S_x = a^2$ .

3. Вычисление величины линейного элемента  $ds(x)$  по координатам  $x_i$  пространства  $n + 1$  измерений в соответствии с формулой (1).

$$dx_i = x'_i - x_i, ds(x) = \sqrt{\sum_{i=1}^{n+1} dx_i^2}.$$

4. Вычисление длины элемента  $dL(Y)$ , изображающего элемент сферы  $ds$  в  $n$ -мерной «нормальной равнопромежуточной азимутальной проекции (Постеля)».

$\rho_i$  и  $\rho'_i$  по формулам (34), (35);  $Y_i$  и  $Y'_i$  по формулам (36) для  $i$  от 1 до  $n$ ;  $dY_i = Y'_i - Y_i$ ,

$$dL(Y) = \sqrt{\sum_{i=1}^n dY_i^2}.$$

5. Вычисление масштаба  $c$  по произвольному направлению в  $n$ -мерной нормальной равнопромежуточной азимутальной проекции.

$d\rho_1 = \rho'_1 - \rho_1$ ,  $u$  — по формулам (37),  $c$  — по формуле (19).

6. Вычисление величины линейного элемента  $ds(Y)$  по его проекции  $dL(Y)$ .

$$ds(Y) = \frac{dL(Y)}{c}.$$

7. Вычисление величины линейного элемента  $ds(y)$  по формулам Паули и величины  $dL(y)$ .

$y_i$  и  $dy_i$  — по формулам (13) и (14);  $ds(y)$  — по формуле (8), принимая  $\rho = \rho_1$ ,

$$dL(y) = \sqrt{\sum_{i=1}^n dy_i^2}.$$

Результаты вычислений. В результате расчетов получено для всех примеров  $S_x = S'_x = 1$ . Остальные вычисленные величины приведены в табл. 4.

Анализ полученных данных. 1. Выполнение условия  $S'_x = S_x = a^2$  подтверждает принадлежность линейного элемента  $ds$  поверхности  $n$ -мерной сферы с радиусом  $a = 1$ .

2. Совпадение величин  $ds(Y)$  и  $ds(x)$  в данных примерах подтверждает корректность предложенной модели  $n$ -мерной сферы и применимость формул математической картографии (теории искажений) для расчета искажений длин в проекции такой сферы на « $n$ -мерную плоскость».

3. Совпадение величин  $ds(y)$  и  $ds(x)$  подтверждает для  $n > 2$  корректность интерпретации формулы Паули для римановых нормальных координат  $y$  [4] формулой (8).

4. Совпадение величин  $ds(y)$  и  $ds(Y)$ , а также величин  $dL(y)$  и  $dL(Y)$  подтверждает предположение, что соотношения, описываемые формулами (1)–(8) [4], относящимися к математическому аппарату теории многомерных пространств, для сферы  $n$  измерений в пространстве  $n + 1$  измерений адекватно выражаются зависимостями из математической картографии.

5. В примере 7 в соответствии с исходными данными получили  $c = c_p$ .

Отметим в заключение, что в математической литературе имеется ряд работ, в которых исследуются проблемы отображения сферы  $n$  измерений ( $S^n$ ) в евклидово пространство ( $R^n$ ) методами топологии и комбинаторной геометрии [1, 3, 6]. В данной статье эта задача рассмотрена путем введения сферических координат и их преобразования в прямоугольные координаты методами математической картографии.

#### С п и с о к л и т е р а т у р ы

- [1] Бабенко И. К., Богатый С. А. К отображению сферы в евклидово пространство // Математические заметки. Т. 46. Вып. 3. М.: Наука, 1989. С. 3—8.
- [2] Каврайский В. В. Избранные труды. Т. II. Л.: Изд-во УНГС ВИФ, 1958. 320 с.
- [3] Макеев В. В. Задача Кнастера о непрерывных отображениях сферы в евклидово пространство // Исследования по топологии 6. Записки научных семинаров ЛОМИ. Т. 167. Л.: Наука, 1988. С. 169—178.
- [4] Паули В. Теория относительности. М.: Наука, 1983. 336 с.
- [5] Сажин М. В. Современная космология в популярном изложении. М.: Едиториал УРСС, 2002. 240 с.
- [6] Yang C. T. On maps from spheres to Euclidean spaces // American Journal of Mathematics. 1957. V. 79. N 4. P. 725—732.

Санкт-Петербург

Поступило в редакцию  
1 ноября 2010 г.

---

Изв. РГО, 2011. Т. 143. Вып. 4

© Г. Ф. УФИМЦЕВ, И. А. ФИЛИНОВ, А. А. ЩЕТНИКОВ

#### АРИДНЫЕ ЧЕРТЫ В МОРФОГЕНЕЗЕ ЗЕМНОЙ ПОВЕРХНОСТИ НА ЮГЕ ВОСТОЧНОЙ СИБИРИ

Более столетия эоловые отложения юга Восточной Сибири изучаются с особым вниманием. Одним из первых был В. А. Обручев [15], затем при региональных и специальных геоморфологических исследованиях эоловые пески и созданные ими геоморфологические ландшафты неоднократно обращали на себя внимание [8—11, 16, 17, 19], а в последние годы проведены детальные работы на побережьях Байкала и ряда суходольных впадин Байкальского типа [1—7, 14, 22]. Этот интерес не случаен и имеет явный прикладной аспект: из-за эоловых процессов, например, в XIX в. был покинут г. Селенгинск на правом берегу одноименной реки, впадающей в Байкал. Периодически проявляющиеся в регионе пыльные бури сопровождаются сильными ветрами и приносят значительный материальный ущерб, включая выгорание населенных пунктов и дачных поселков.

Проведенные разными авторами исследования в основном ориентированы на изучение переноса и аккумуляции эоловых песков, а денудационная составляющая процесса остается в тени. К тому же в них отсутствуют аргументированные представления об особенностях проявления эоловых процессов в течение четвертичного времени и особенно эпохи появления и последующего обитания в регионе человеческих сообществ. Работы по изучению лёссовидных образований (а не только эоловых песков) имеют по понятным причинам явный инженерно-геологический уклон [18]. Главный недостаток проведенных ранее исследований заключается в том, что эоловый процесс